

Fig. 3.

Fig. 2.

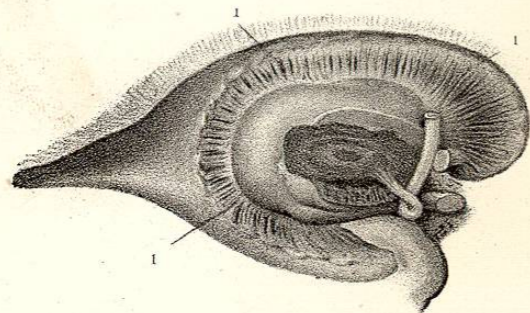
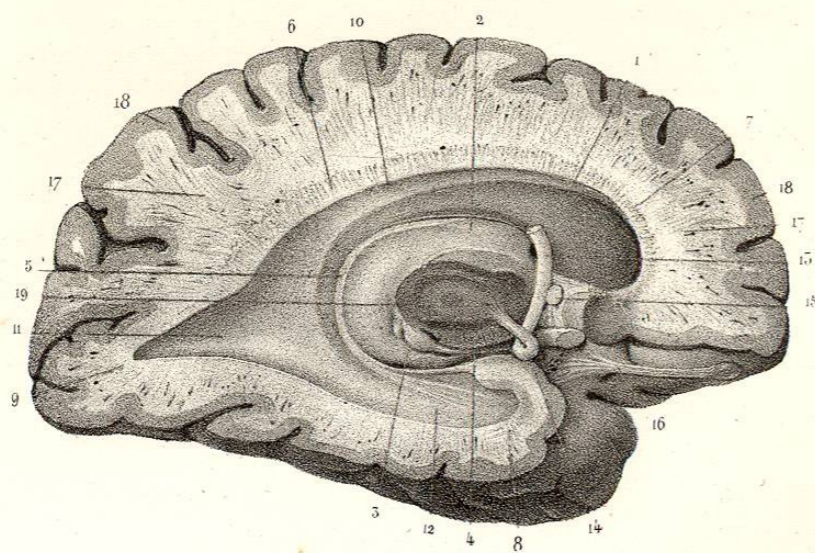


Fig. 4.



Fig. 1.



EXPLICATION DE LA PLANCHE 19.

**Ventricules latéraux.**

Cette planche permet de voir d'un coup d'œil, à l'aide de coupes verticales antéro-postérieures, la corne d'Ammon, l'ergot de Morand et le corps strié; le tout faisant relief dans les ventricules latéraux.

FIGURE 1. — 1. Noyau extraventriculaire des corps striés. — 2. Surface ventriculaire de la couche optique. — 3. Corps genouillés, offrant un peu plus en avant, 4, les racines et la bandelette d'un des nerfs optiques. — 5. Bandelette demi-circulaire occupant le sillon elliptique qui sépare l'un de l'autre le corps strié et la couche optique. — 6. Corps calleux présentant la forme tricorne. — 7. Corne antérieure ou frontale. — 8. Corne moyenne ou sphénoïdale. — 9. Corne postérieure ou occipitale. — 10. Étage supérieur d'un des ventricules latéraux. — 11. Cavité digitale ou ancyroïde. — 12. Étage inférieur. — 13. Pilier antérieur de la voûte à trois piliers, se contournant à la manière d'un 8, et constituant, avec un faisceau blanc qui se dégage de la face interne de la couche optique, 14, le tubercule mamillaire correspondant. — 15. Coupe de la commissure cérébrale antérieure qui est placée au-devant des piliers antérieurs de la voûte. — 16. Nerf olfactif et son renflement d'origine. — 17, 17. Substance blanche ou médullaire du cerveau; et 18, 18, sa substance grise ou corticale. — 19. Coupe oblique du pédoncule cérébral.

pédonculaires, mises à nu par l'ablation du noyau intraventriculaire du corps strié qui les masquait.

1, 1, 1. Couronne rayonnante de Reill (grand soleil ou éventail de Vieussens).

FIGURE 3. — 1. Noyau intraventriculaire du corps strié. — 2. Son noyau extraventriculaire placé, 3, au fond de la scissure de Sylvius, où il est masqué par les petites circonvolutions de l'insula. — 4. Lame de substance blanche formée par l'épanouissement du pédoncule cérébral. — 5. Étage supérieur du ventricule latéral. — 6. Son étage inférieur rempli par, 7, la corne d'Ammon. — 9. *Cavitas digitalis* ou ancyroïde, occupée presque entièrement par, 10, l'ergot de Morand ou petit hippocampe. — 11. Fibres transversales de la face inférieure du corps calleux circonscrivant le ventricule latéral. — 12. Lobule frontal. — 13. Lobule sphénoïdal. — 14. Lobule occipital. — 15. Substance blanche cérébrale. — 16. Substance grise. — 17. Commissure cérébrale antérieure.

FIGURE 4. — 1. Plexus choroïde représenté sur la portion centrale de la figure précédente, afin de faire voir le trajet de ce plexus.

FIGURE 2. — Elle laisse voir les fibres rayonnantes

EXPLICATION DE LA PLANCHE 20.

Voûte à trois piliers.

Elle a pour objet d'étudier sur le cerveau, vu par sa base, la voûte à trois piliers par sa face inférieure, en rapport avec la face inférieure du corps calleux et quelques autres parties encéphaliques (pour la face supérieure de la voûte à trois piliers et la cloison transparente, voyez planche 18).

FIGURE 1. — 1. Lobule antérieur (frontal). — 2. Lobule moyen (sphénoïdal). — 3. Lobule postérieur (occipital). — 4. Scissure de Sylvius ou grande scissure interlobulaire. — 5. Lobule du corps strié ou *insula* de Reill. — 6. Espace perforé de Vicq d'Azyr ou espace perforé latéral. — 7. Nef olfactif droit. — 8. Partie antérieure de la grande scissure médiane du cerveau. — 9. Partie postérieure de cette même scissure. — 10. Face inférieure du bourrelet du corps calleux, se continuant avec les fibres de la voûte à trois piliers. — 11. Tubercules *testes*, séparés par le frein de la valvule de Vieussens. — 12. Face inférieure de l'extrémité postérieure de la couche optique, sur laquelle on remarque, 13, le corps genouillé externe, et, 14, le corps genouillé interne. — 15. Bandelette du nef optique, laquelle contourne en, 16, le pédoncule cérébral et se continue en arrière par ses deux racines avec les corps genouillés. — 17. Circonvolutions de l'hippocampe. — 18. Chiasma résultant de la réunion et de l'entre-croisement des nerfs optiques. — 19. Lamelles triangulaires perforées médianes (espace perforé médian). — 20. Tubercules mammillaires. — 21. *Tuber cinereum* séparé ici de sa tige, dont on voit seulement l'orifice. — 22. Cavité digitale ou ancyroïde, vue par l'ablation de sa paroi inférieure. — 23. Ergot de Morand continu dans cette cavité.

FIGURE 2. — Le cerveau est vu par la base, et permet d'étudier ses parties profondes. — 1. Corps genouillés interne et externe sur la face inférieure de l'extrémité postérieure de la couche optique. — 2. Bandelette et racines du nef optique. — 3. Pédoncule du cerveau coupé immédiatement au-devant de la protubérance. — 4. Coupe de la couche optique. — 5. Tubercule mammillaire. — 6. Portion du *tuber*

*cinereum*. — 7. Fibres transversales de la face inférieure du bourrelet du corps calleux. — 8. Face inférieure de la voûte à trois piliers. — 9. Sillon de séparation des deux cordons de la voûte, et, 10, espace triangulaire, légèrement excavé, confondu par la base avec le bourrelet du corps calleux, et dont les côtés et le sommet sont constitués par les parties saillantes de la voûte. C'est cet espace, traversé par des fibres de différentes directions, qui constitue la lyre (*psalterium*). — 11. Pilier antérieur de la voûte constituant, 12, le tubercule mammillaire. — 13. Commissure cérébrale antérieure. — 14. Pilier postérieur de la voûte se continuant avec, 15, le corps bordant qui finit en avant, 16, à l'extrémité réfléchie de la circonvolution de l'hippocampe. — 17. Corps godronné. — 18. Cavité de l'étage inférieur visible par l'ablation de sa paroi inférieure, et se continuant en arrière, 19, avec la cavité digitale. — 20. Face inférieure du corps calleux. — 21. Genou du corps calleux. — 22. Noyau gris de l'*insula*, ou noyau extraventriculaire du corps strié. — 23. Circonvolutions de l'*insula*.

FIGURE 3. — Elle montre une portion des lobules frontaux, afin d'étudier les rapports de ces organes avec le genou et le bec du corps calleux.

4, 1. Lobules frontaux écartés l'un de l'autre par leur extrémité antérieure. — 2. Genou du corps calleux, et, 3, bec. — 4. Continuation de la branche médiane du bec avec la lame sus-optique percée ici d'un trou. — 5. Nef olfactif coupé. Sa section fait voir sa forme triangulaire. — 6. Rempliment gris ou bulbe d'origine de ce nef. — 7. Bulbe de terminaison. — 8. Ses racines blanches, externe et interne.

PL. 20.

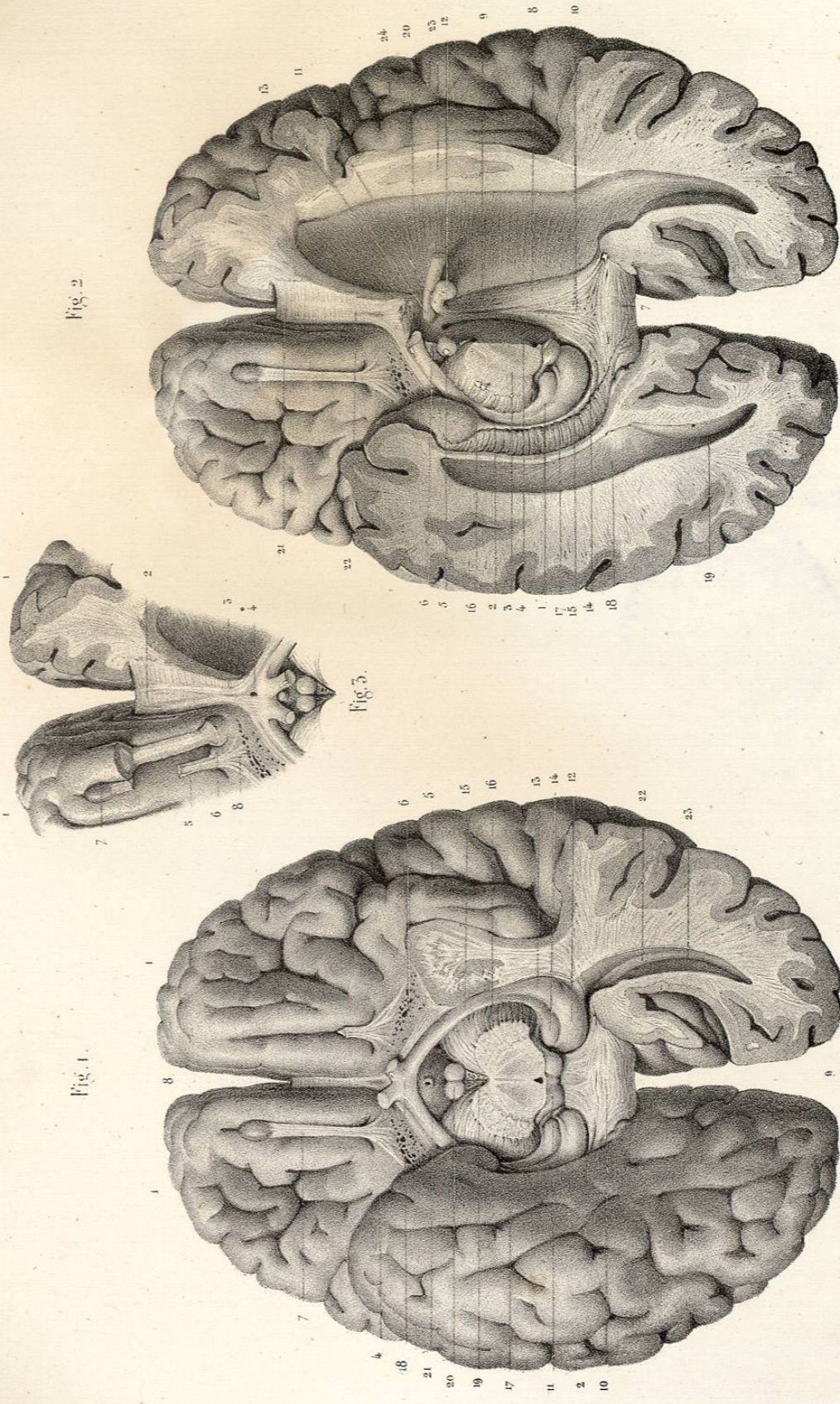
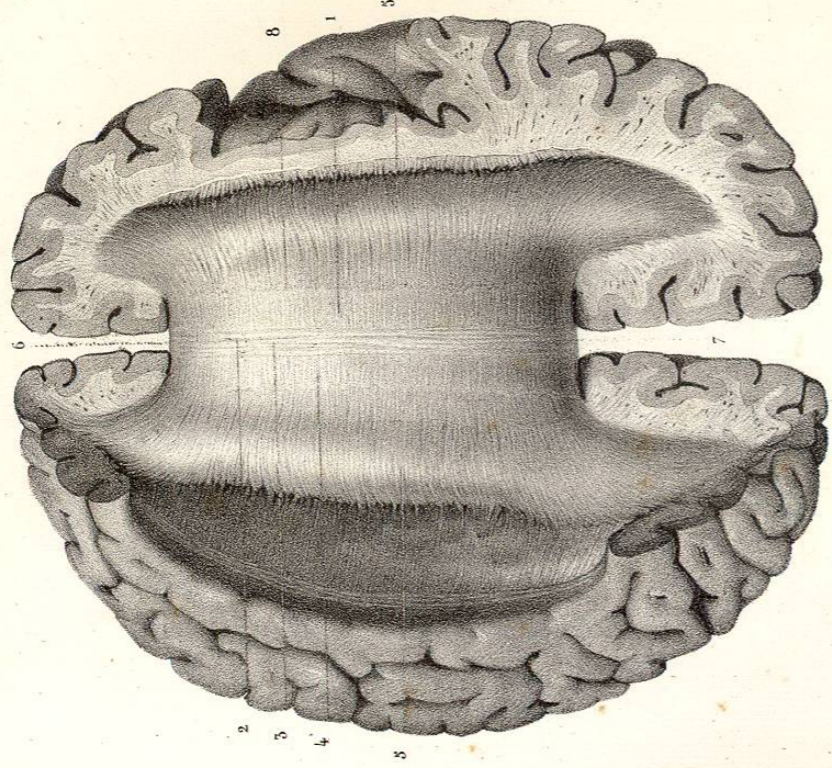


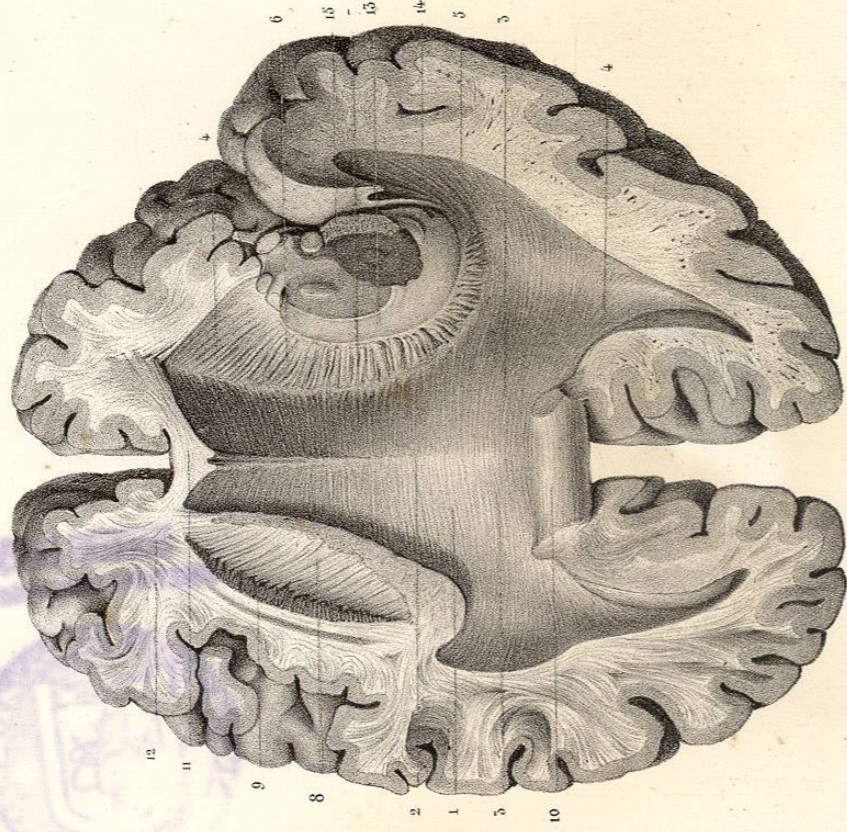
Fig. 1.



Dessiné d'après nature par Leveillé.

Préparé par Ludovic.

Fig. 2.



Ins. Lermieux, R. de Seine 57 Paris.

EXPLICATION DE LA PLANCHE 21.

Corps calleux.

On aperçoit ici la face supérieure, les bords latéraux et les extrémités (bords antérieur et postérieur) du corps calleux. Du côté gauche, la portion du lobe qui le recouvre est décollée et renversée. Du côté droit, cette portion est coupée au niveau de l'entre-croisement de ses fibres. — La figure 2 est destinée à faire voir la face inférieure du corps calleux, ses connexions avec les fibres rayonnées pédonculaires et les prolongements que cet organe envoie sous forme de cornes dans les lobules frontaux, sphénoïdaux et occipitaux.

FIGURE 1. — 1. Face supérieure du corps calleux. — 2. Sillon médian superficiel, sur les côtés duquel on remarque, 3, les tractus blancs longitudinaux ou nerfs longitudinaux de Lancisi. — 4. Fibres transverses. — 5, 5. Bords latéraux, ou bourrelets longitudinaux. — 6. Genou du corps calleux. — 7. Bourrelet de ce corps. — 8. Ligne établissant la démarcation entre la partie de la face supérieure du corps calleux qui est adhérente au lobe cérébral correspondant, mise à nu ici par son décollement, et celle qui constitue le ventricule du corps calleux.

FIGURE 2. — 1. Face inférieure du corps calleux. — 2. Raphé médian. — 3, 3. Fibres transverses séparées sur la ligne médiane par le raphé. — 4, 4. Fibres obliques qui sont la continuation des fibres transverses ayant changé de direction pour se pro-

longer en avant dans le lobule frontal, en arrière dans le lobule occipital, et, 5, dans le lobule sphénoïdal. — 6. Fibres rayonnées pédonculaires, couronne rayonnante de Reil, mises à nu par l'ablation du noyau intraventriculaire du corps strié. — 7. Raphé latéral. — 8. Épanouissement des fibres pédonculaires mises à nu par l'ablation du noyau extraventriculaire du corps strié. — 9. Entre-croisement formé par les fibres pédonculaires ascendantes avec les fibres descendantes du corps calleux. — 10. Bourrelet du corps calleux. — 11. Section du genou. — 12. Noyau blanc d'une circonvolution résultant de l'épanouissement des fibres du corps calleux et de celles du pédoncule cérébral. — 13. Couche optique. — 14. Corps genouillés se continuant avec le nerf optique. — 15. Coupe d'un pédoncule.

EXPLICATION DE LA PLANCHE 22.

Structure du corps calleux.

Cette planche est destinée à faire voir la structure du corps calleux, ses rapports avec le cerveau, le cervelet et la moelle allongée, ainsi que les prolongements pédonculaires se rendant jusque dans l'épaisseur de la couche optique. — La figure 1 est le corps calleux tenant au lobe droit, vu de profil, et mis à nu par l'ablation du lobe gauche qui le recouvrait. — La figure 2 montre la face postérieure de la moelle allongée et ses connexions avec le cerveau. — La figure 3 représente une coupe verticale et transversale de l'encéphale, de ses enveloppes osseuses et membranées.

FIGURE 1. — 1, 4, Faces supérieures du corps calleux. — 2, 2, Grande circonvolution du corps calleux (ourlet). — 3, Ventricule du corps calleux (*sinus corporis callosi*). — 4, 4, Débris des tractus longitudinaux du corps calleux. — 5, 5, Fibres transverses. — 6, 6, 6, Fibres obliques. — On peut reconnaître leur incurvation vers les cornes frontale, sphénoïdale et occipitale, et l'entre-croisement de ces fibres obliques avec 7, 7, les fibres rayonnées pédonculaires. — 9, Bourrelet longitudinal limitant le bord latéral du corps calleux. On reconnaît ici qu'il n'y a aucune continuité entre les fibres du corps calleux et celles du pédoncule. — 10, Fibres rayonnées du corps calleux et du pédoncule. Ces fibres, dont quelques débris seulement sont visibles ici, se dirigent vers le lobe occipital, pour constituer les noyaux des circonvolutions. — 11, Circonvolutions internes du lobe frontal. — 12, Circonvolutions du lobe occipital ou de la cavité digitale.

FIGURE 2. — 1, Bulbe crânien. — 2, Paroi antérieure du quatrième ventricule. — 3, 3, Pédoncules inférieurs du cervelet. — 4, 4, Pédoncules moyens. — 5, 5, Ses pédoncules supérieurs. — 6, Faisceau triangulaire. — 7, Tubercules nates et testes condensés du côté gauche, et élevés du côté droit pour laisser voir la continuation du pédoncule cérébelleux supérieur jusque dans l'épaisseur de la couche optique, et constituer ainsi l'étege supérieur du pédoncule cérébral correspondant. — 8, Commissure cérébrale postérieure visible dans la couche optique, au moyen d'une échancrure pratiquée sur celle-ci. — 9, *Corpus album sub rotundum*. — 10, Bandelette demi-

circulaire, dont les fibres s'engrènent avec, 11, les fibres rayonnées pédonculaires; celles-ci forment un entre-croisement avec, 12, les fibres obliques et transverses de la portion réfléchie du corps calleux. — 13, *Septum lucidum* paraissant résulter de l'incurvation de bas en haut, de chaque côté des fibres de la portion réfléchie du corps calleux. — 14, Lambeaux du corps calleux renversés. — 15, Raphé intermédiaire à l'épanouissement des fibres pédonculaires et à celles du corps calleux. — 16, Plicier antérieur de la voûte. — 17, Commissure antérieure. — 18, *Habenæ*. — 19, Trou de Monro. — 20, 20, Substance blanche ou médullaire des circonvolutions. — 21, Substance grise ou corticale des circonvolutions.

FIGURE 3. — 1, Corps calleux en rapport avec la faux et les hémisphères du cerveau. — 2, Ventricule du corps calleux. — 3, 3, Ventricules latéraux. — 4, 4, Corne d'Ammon, blanchâtre à la périphérie et grisâtre à l'intérieur. — 5, Cervelet séparé du cerveau par la tente. — 6, Coupe des tubercules quadrijumeaux, de l'aqueduc de Sylvius et de la protubérance. — 7, Bulbe crânien en rapport avec les artères vertébrales et le rameau spinal antérieur. — 8, Nerf auditif s'engageant dans le conduit auditif interne. — 9, Nerf pneumogastrique traversant le trou déchiré postérieur. — 10, Nerf grand hypoglosse traversant le trou condylien antérieur. — 11, Substance grise ou corticale. — 12, Substance blanche et médullaire des circonvolutions. Cette dernière substance est formée par des fibres du corps calleux qui vont en rayonnant jusqu'à la substance grise des circonvolutions.

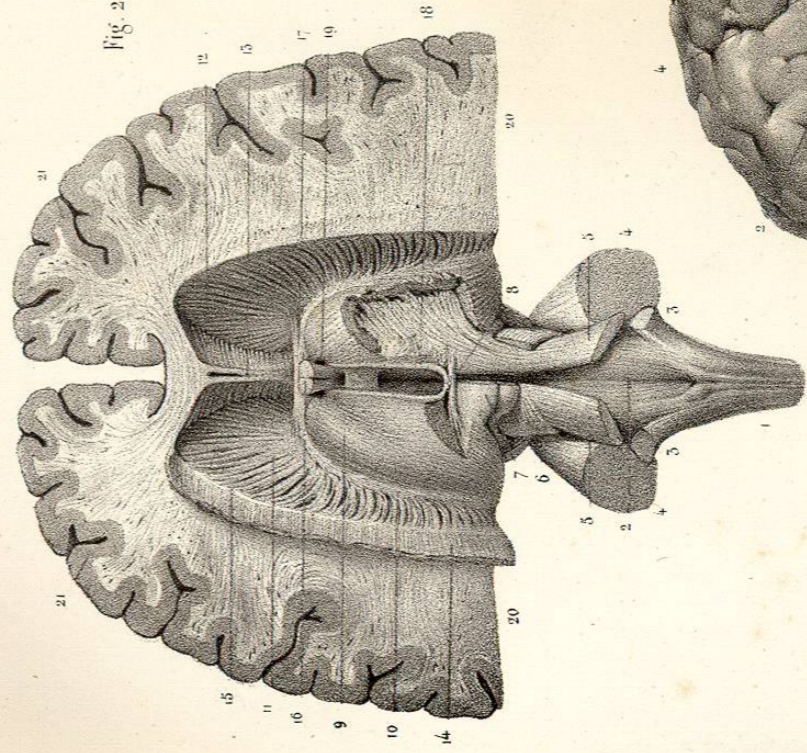


Fig. 2.

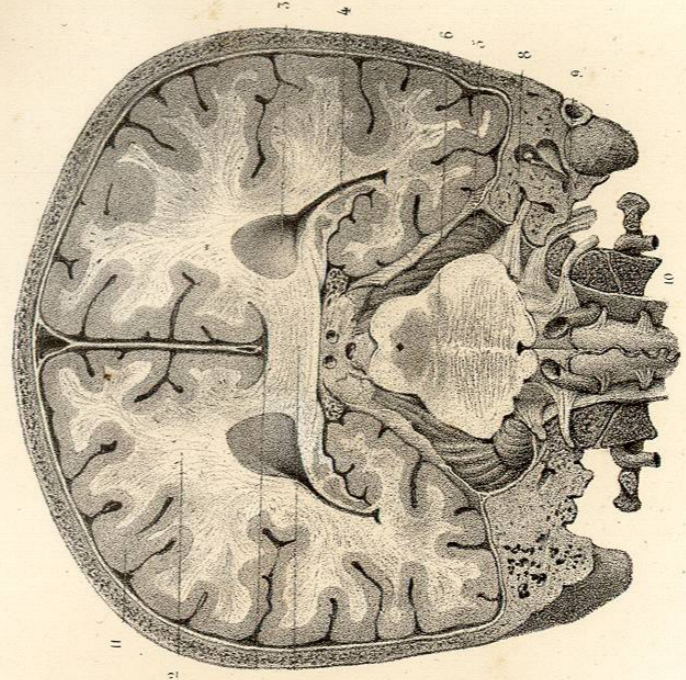


Fig. 3.

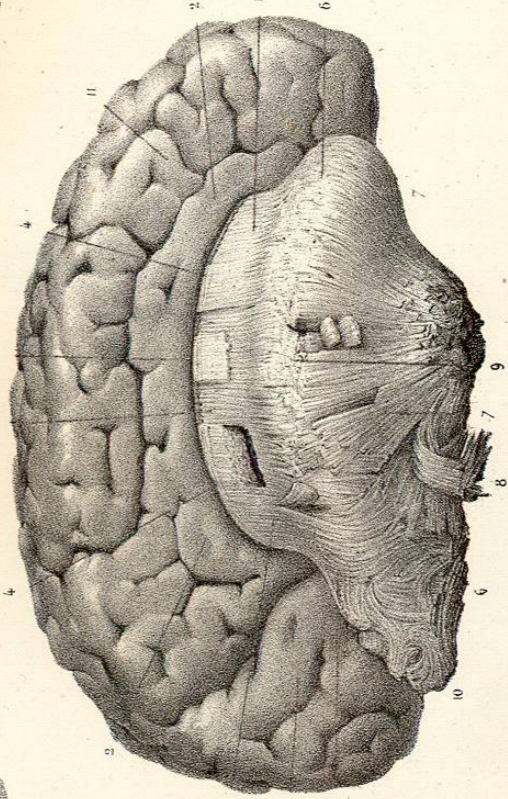


Fig. 4.

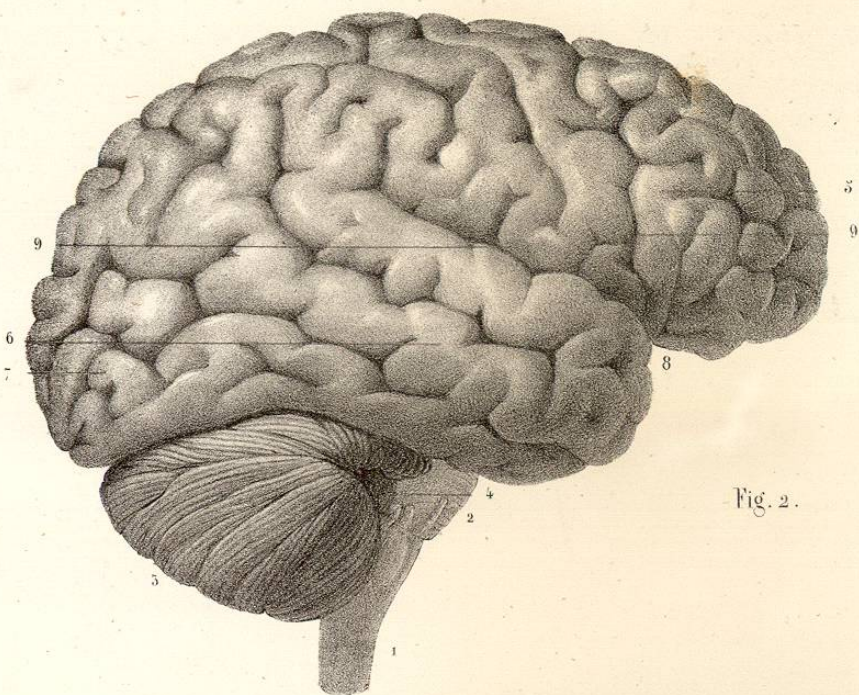


Fig. 2.

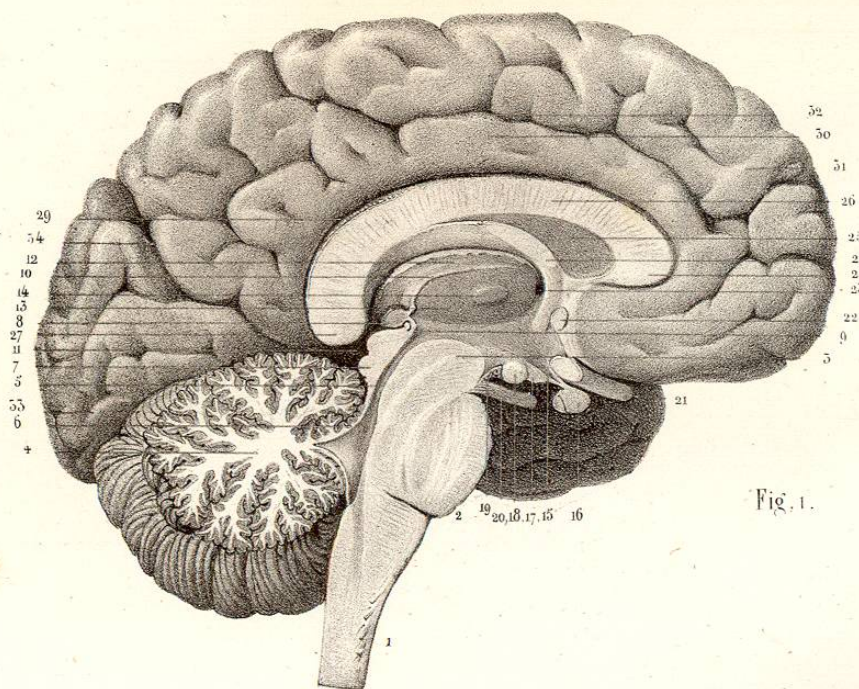


Fig. 1.

EXPLICATION DE LA PLANCHE 23.

Faces latérales de l'encéphale.

Rapports réciproques de différentes parties de l'encéphale vues au moyen d'une coupe verticale médiane antéro-postérieure. Figure 1, face latérale interne de la moitié gauche de l'encéphale. — Figure 2, face latérale externe de la moitié droite de l'encéphale.

FIGURE 1. — 1. Moitié du bulbe crânien. — 2. *Id.* de la protubérance. — 3. *Id.* d'un pédoncule cérébral. — 4. Arbre de vie du lobe médian du cervelet. — 5. Aqueduc de Sylvius. — 6. Moitié de la valvule de Vieussens. — 7. Deux des tubercules quadrijumeaux. — 8. Moitié de la glande pinéale. — 9. Son pédoncule inférieur, et, 10, son pédoncule antérieur (*habenæ*). — 11. Portion transversale de la fente cérébrale de Bichat. — 12. Face supérieure de la couche optique. — 13. Sa face interne formant la paroi externe du ventricule moyen. — 14. Commissure molle. — 15. Tige pituitaire ou infundibulum. — 16. Portion de la glande pituitaire. — 17. *Id.* du *tuberculum cinereum*. — 18. Tubercule pisiforme. — 19. Lamelle perforée médiane. — 20. Nerf moteur oculaire commun. — 21. Portion du nerf optique. — 22. Commissure

cérébrale antérieure. — 23. Trou de Monro. — 24. Voûte à trois piliers. — 25. Cloison transparente (*septum lucidum*). — 26. Corps calleux. — 27. Bourrelet. — 28. Genou et bec. — 29. Ventricule du corps calleux (*sinus corporis callosi*). — 30. Grande circonvolution du corps calleux. — 31. Circonvolution interne du lobule antérieur du cerveau. — 32. Anfractuosité profonde intermédiaire à ces deux circonvolutions. — 33. Circonvolution de la cavité digitale ou du lobule postérieur. — 34. Anfractuosité de la cavité digitale.

FIGURE 2. — 1. Bulbe crânien. — 2. Protubérance. — 3. Cervelet. — 4. Lobule du nerf vague. — 5. Circonvolutions frontales. — 6. Circonvolutions pariétales. — 7. Circonvolutions occipitales. — 8. Scissure de Sylvius et, 9, 9, ses deux branches.